

# SONČNO OBSEVANJE IN KLIMATSKE SPREMEMBE PO MILANKOVIĆEVEM MODELU

ŽIGA ŠMIT

Fakulteta za matematiko in fiziko, Univerza v Ljubljani

Institut Jožef Stefan

PACS: 92.60.Ry, 92.30.Bc

Osnova klimatskih modelov je toplota, ki jo Zemlja prejme od Sonca. Prispevek prikaže nazorno izpeljavo enačb, ki vodijo do dnevnega obseva, to je količine toplotne, ki v poljubnem dnevu leta pade na enoto zemeljske površine v obliki krogle pri izbrani geografski širini. Z analitičnimi približki v najnižjem redu je upoštevano spremenjanje nagiba zemeljske vrtilne osi in spremenjanje ekscentričnosti Zemljinega tira. Z modelom je izračunana relativna količina toplotne za obdobje würmske poledenitve (do 160 tisoč let nazaj). Primerjava z drugimi računi in izmerjenimi klimatskimi spremembami kaže, da preprosti račun uspešno reproducira osnovno obliko klimatske krivulje.

## SOLAR IRRADIATION AND CLIMATIC CHANGES ACCORDING TO THE MILANKOVITCH MODEL

Climatic models are essentially based on the energy, received by Earth from the Sun. The article shows methodic derivation of equations that lead to the daily insolation, i. e. the quantity of energy that hits a given area of spherically-shaped earth surface at given geographical amplitude on a given day. Analytical approximations are proposed for the time variation of the tilt of the geographical axis with respect to ecliptic and of the eccentricity of the Earth's orbit. The relative quantity of energy is calculated for the period of Würm glace age (up to 160 thousand years in the past). A comparison with other calculations and measured climatic variations shows that the simple model reproduces well the main features of the climatic curve.

## Uvod

Hitro spremenjanje klimatskih razmer v zadnjem času prav gotovo oživlja zanimanje za klimatske modele. Že sredi 18. stoletja so z opazovanjem geoloških pojavov zaznali pojav ledenih dob. Konec 19. stoletja so domnevali, da so nihanja hladnih in toplih obdobij posledica sprememb v sončnem obsevanju. Z idejo se je leta 1911 začel ukvarjati srbski matematik in naravoslovec Milutin Milanković (1879–1958). Do podrobnosti jo je izdelal v avstro-oigrskem vojaškem ujetništvu v bližini Budimpešte in jo leta 1920 objavil v knjigi, ki jo je izdala tedanja Jugoslovanska akademija znanosti in umetnosti v Zagrebu, izšla pa je pri založbi Gauthier-Villars v Parizu. Druga Milankovićeva knjiga je izšla v Beogradu leta 1941.

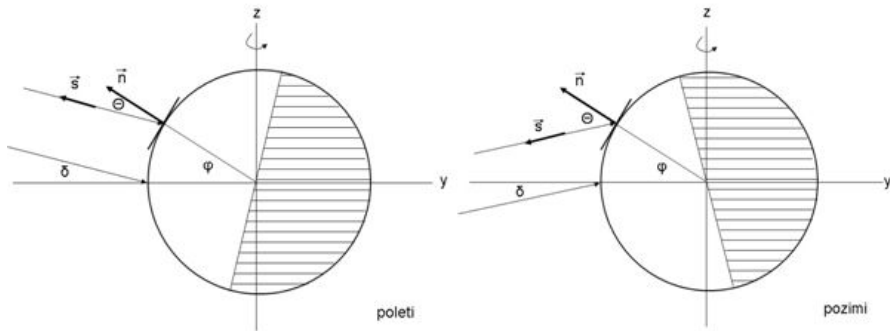
V Milankovićevem modelu je klima odvisna od dnevne količine sončne toplotne, ki posije na izbrani del zemeljske površine. Toplota je odvisna od kota, pod katerim padajo sončni žarki, in od dolžine dneva. Ti količini pa se dolgotrajno spreminja zaradi precesije in opletanja zemeljske osi ter zaradi spremnjanja eliptičnosti zemeljskega tira. Milanković je domneval, da je glavni vzrok za spremnjanje klime in nastop ledenih dob spremnjanje nagiba zemeljske osi, ki poteka s periodo 41 tisoč let. Toda ledene dobe nastopajo s periodom okoli 100 tisoč let, kar je nato kar za nekaj desetletij zmanjšalo zanimanje za Milankovićev model. Znova so ga oživila globokomorska in ledeniška vrtanja, s katerimi je bilo mogoče rekonstruirati klimatske spremembe 500–800 tisoč let v preteklost. J. D. Hays, J. Imbrie in N. J. Shackleton so v ključnem delu *Variation in the Earth's Orbit: Pacemaker of the Ice Ages* leta 1976 z numeričnimi postopki določili osnovne periode pri spremnjanju klime in pokazali, da se ujemajo s spremnjanjem precesije in nagiba zemeljske vrtilne osi. Vendar pa so te spremembe le približno periodične, ker gibanje Zemlje moti gravitacijsko polje težjih planetov. Naloga je zato pogosto obrnjena: iz izmerjenih nihanj klime ugotavljajo variacije v Zemljini orbiti.

Klimatska nihanja v preteklosti se kažejo v izotopski sestavi kisika v globokomorskih in ledenih vrtinah ter v sestavi in fizikalnih lastnostih sedimentov. Merjenja teh pojavov so tudi uveljavljena metoda datiranja v geoloških in starejših arheoloških obdobjih. Postopek, ko časovno skalo, ki jo dobimo iz klimatskih in geoloških opazovanj, uskladimo s parametri po Milankovićevem modelu, imenujemo orbitalna uskladitev (orbital tuning).

Čeprav vzroke za današnje naraščanje temperatur iščemo v spremembah atmosfere, ki jih povzroča človek, pa je Milankovićev model še vedno osnova za računanje dolgoročnih klimatskih sprememb. S primerjavo podatkov za količino vpadle toplotne pozimi in poleti ter pri različnih geografskih širinah dobimo občutek, kako velike spremembe teh količin so pomembne. Izračun dnevnega obseva, to je količine toplotne, ki pada na izbrani del zemeljske površine v enem dnevu, je zanimiv geometrijski problem, ki ga lahko z matematično nadarjenimi dijaki rešimo že v srednji šoli. Namen prispevka pa je razviti model do te mere, da reproducira osnovno obliko klimatske krivulje za obdobje würmske poledenitve, to je do 160 tisoč let nazaj. V ta namen predlaga analitične približke za časovno odvisnost ekscentričnosti zemeljskega tira in opletanje zemeljske vrtilne osi.

## Model

Klima na Zemlji je odvisna od gostote energijskega toka s Sonca in od lastnosti atmosfere: odbojnosti za sončno svetlobo in absorptivnosti (emisivnosti)



**Slika 1.** Vpadni kot sončnih žarkov na severni polobli poleti in pozimi opoldne.

v infrardečem območju. Pri našem modelu se bomo omejili na izračun dnevnega obseva, to je integrala gostote energijskega toka  $j$  (obsevanosti) v času od sončnega vzhoda do zahoda:

$$\frac{Q}{S} = \int j \cos \Theta dt_d \quad (1)$$

Pri tem je  $\Theta$  kot, ki ga sončni žarki oklepajo z normalo na izbrani del zemeljske površine;  $\Theta$  se spreminja zaradi vrtenja Zemlje in njene gibanja okoli Sonca, saj zemeljska vrtilna os ni pravokotna na ekliptiko, ampak oklepa s pravokotnico nanjo kot  $\delta_0$ . Zaradi gibanja Zemlje po elipsi se med letom spreminja tudi  $j$ , ki pada s kvadratom razdalje Sonce–Zemlja. Za sevanje Sonca in s tem povezano sončno konstanto privzemimo, da se ne spreminja. Spremembe  $r$  od enega dneva do drugega pa so majhne, tako da lahko  $j$  v (1) postavimo pred integral.

Za računanje kota  $\Theta$  je ugodno, da začnemo meriti letni čas  $t_l$  v trenutku, ko je Zemlja v pomladnišču in je zemeljska os pravokotna na smer sončnih žarkov. Zemeljska os v splošnem oklepa s smerjo proti Soncu kot  $\lambda$ :

$$\cos \lambda = \sin \delta_0 \sin \omega_l t_l, \quad (2)$$

pri čemer je  $\omega_l$  kotna hitrost pri kroženju Zemlje okoli Sonca;  $\omega_l = 2\pi/T_l$ , kjer je  $T_l$  perioda enega leta.

Kot  $\Theta$  želimo podati kot funkcijo dnevnega časa  $t_d$  in letnega časa  $t_l$ . Izberemo koordinatni sistem, pri katerem os  $z$  sovpada z zemeljsko vrtilno osjo. Osi  $x$  in  $y$  ležita v ekvatorialni ravnini; pri tem os  $y$  postavimo tako, da smer proti Soncu leži v ravnini  $yz$  (slika 1). Sončni žarki oklepajo tedaj z osjo  $y$  kot  $\delta$ ; vrednosti  $\delta$  so v letni polovici leta pozitivne, v zimski pa

negativne. Kota  $\delta$  in  $\lambda$  se razlikujeta za  $\pi/2$  ( $\lambda = \pi/2 - \delta$ ), tako da velja

$$\sin \delta = \sin \delta_0 \sin \omega_l t_l. \quad (3)$$

Smer proti Soncu je tedaj

$$\vec{s} = (0, -\cos \delta, \sin \delta). \quad (4)$$

Smer normale na izbrani točki zemeljskega površja pri geografski širini  $\varphi$  je podana z vektorjem

$$\vec{n} = (\cos \omega_d t_d \cos \varphi, -\sin \omega_d t_d, \cos \varphi, \sin \varphi). \quad (5)$$

Pri tem merimo dnevni čas  $t_d$  tako, da  $\vec{n}$  ob času  $t_d = 0$  leži v ravnini  $xz$ ;  $\omega_d = 2\pi/T_d$ , kjer je  $T_d$  dolžina enega dneva. Iz enačb (4) in (5) dobimo  $\cos \Theta$ :

$$\cos \Theta = \cos \delta \cos \varphi \sin \omega_d t_d + \sin \delta \sin \varphi. \quad (6)$$

Iz zveze (6) lahko enostavno ocenimo, koliko je dan zaradi nagnjene zemeljske osi zjutraj in zvečer daljši ali krajiši kot ob enakonočju. Za mejo svetlo-temno velja  $\cos \Theta = 0$  in odtod

$$-\sin \omega_d t_d = \tan \delta \tan \varphi \equiv \sin \alpha, \quad (7)$$

pri čemer je  $\alpha$  podaljšanje ali skrajšanje dneva v kotnih enotah. (V izvirni Milankovićevi izpeljavi namesto kota  $\alpha$  nastopa kot  $\pi/2 + \alpha$ , ki ustreza polovični dolžini dneva v kotnih enotah.) Med arktično nočjo in arktičnim dnevom je absolutna vrednost  $\tan \delta \tan \varphi$  večja od ena. Arktična noč ali dan nastopita pri geografski širini  $\varphi = \pi/2 - |\delta|$ , najmanjša geografska širina, pri kateri poznajo ta pojav, pa je  $\varphi = \pi/2 - |\delta_0|$ . Zaradi loma svetlobe v ozračju (astronomski refrakcije) je dolžina dneva nekaj daljša, kot jo napove enačba (6), pri arktičnem dnevu, ki se vleče nekaj mesecev, lahko tudi za nekaj dni.

V enim dnevu na površino  $S$  pade toplota (1):

$$\frac{Q}{S} = \frac{j}{\omega_d} \int_{-\alpha}^{\pi+\alpha} \cos \Theta d(\omega_d t_d) = \frac{2j}{\omega_d} \left( \cos \omega \cos \varphi \cos \alpha + \left( \frac{\pi}{2} + \alpha \right) \sin \delta \sin \varphi \right). \quad (8)$$

Pri tem smo upoštevali, da se  $j$  v enim dnevu zaradi gibanja Zemlje po rahlo eliptičnem tiru ne spremeni.

V splošnem nas zanimajo relativne spremembe dnevnega obseva oziroma vpadle toplotne  $Q$ . Za izhodišče vzemimo vrednost  $Q_0$  pri  $\delta = 0$ , torej količino toplotne, ki jo dobimo pri orientaciji zemeljske osi pravokotno na smer

sončnih žarkov. Zaradi enostavnosti vzemimo referenčno vrednost toka  $j$  pri  $r = a$ , ko je oddaljenost Zemlje od Sonca enaka daljši polosi elipse. Vrednost  $a$  je sicer večja od povprečne razdalje Zemlja–Sonce, vendar pomeni boljšo konstanto gibanja: med drugim nastopa v tretjem Keplerjevem zakonu in izrazu za energijo planeta. Relativno spreminjanje toplotne  $Q$ , ki se na izbrano zemeljsko površino  $S$  izseva v enem dnevu, je tako

$$\frac{Q}{Q_0} = \left(\frac{a}{r}\right)^2 \left( \cos \delta \cos \alpha + \left(\frac{\pi}{a} + \alpha\right) \sin \delta \tan \varphi \right). \quad (9)$$

Pri računanju si pomagamo z izrazi za enačbo elipse v parametrični obliki. V tem zapisu so čas in koordinate planeta podani kot funkcija brezdimensionega parametra  $\xi$ , ki se spreminja podobno kot polarni kot od 0 do  $2\pi$ , vendar nima enostavne geometrijske ponazoritve. Za  $r$  velja (glej Landau, enačba 15.10):

$$r = a(1 - \epsilon \cos \xi), \quad (10)$$

pri čemer je  $\epsilon$  ekscentričnost elipse, parameter  $\xi$  pa je povezan s časom  $t'$  z zvezo

$$\xi - \epsilon \sin \xi = \omega_l t' = \frac{2\pi}{T_l} t_l. \quad (11)$$

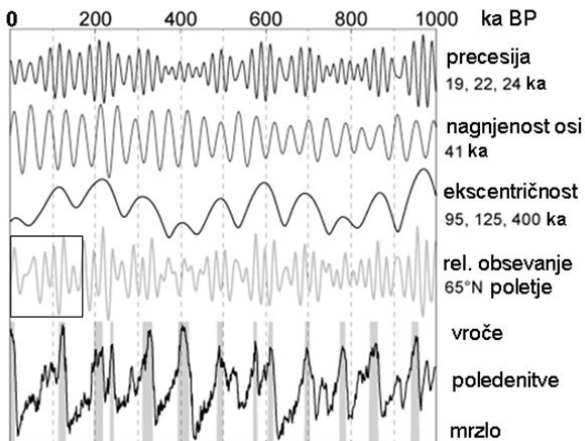
Pri majhnih vrednostih  $\epsilon$  je  $\xi$  približno enak polarnemu kotu, ki ga opisuje zveznica Sonce–Zemlja z začetno lego v periheliju. Čas  $t'$ , ki prav tako meri potovanje Zemlje okoli Sonca, ima torej v periheliju vrednost nič. Pri praktičnem računanju rešimo enačbo (11) numerično z iteracijo.

Razmerje  $Q/Q_0$  želimo izračunati za poljuben koledarski dan  $t$  v letu. V ta namen nam zadostuje, da pozabimo na prestopna leta in za dolžino leta vzamemo  $T_l = 365$  dni. Po koledarju nastopi pomlad navadno 21. marca, tako da je od 1. januarja do pomladischa še 80 dni. Perihelij nastopi okoli 3. januarja. Pri času  $t_l$  v enačbi (3) in času  $t'$  v enačbi (11) upoštevamo časovna premika:

$$t_l = t - 80d; \quad t' = t - 3d \quad (12)$$

V naslednjem koraku upoštevamo dolgoročno spreminjanje  $Q/Q_0$ , ki je opazno šele v obdobjih več tisoč let. Zemeljska os v prostoru ni stalna, ampak zaradi precesije obleta po plašču stožca, ki je orientiran pravokotno na ekliptiko in ima odprtino  $2\delta_0$ . Učinek tega gibanja je navidezno vrtenje elipse zemeljskega tira. Pri računanju  $r$  iz enačb (10, 11) moramo torej pri času  $t'$  upoštevati dodatni fazni premik, ki je odvisen od geološkega časa  $T$ ; tega lahko merimo tako v preteklost kot v prihodnost:

$$t' = t - 3d + T_l \frac{T}{T_p}; \quad (13)$$



**Slika 2.** Parametri Zemljinega tira, izračunana krivulja relativnega dnevnega obseva in dejansko spremjanje temperature (prirejeno po Global Warming Art). Območje relativnega obsevanja do 160 tisoč let je označeno s kvadratkom.

pri tem smo s  $T_p$  označili precesijski obhodni čas.

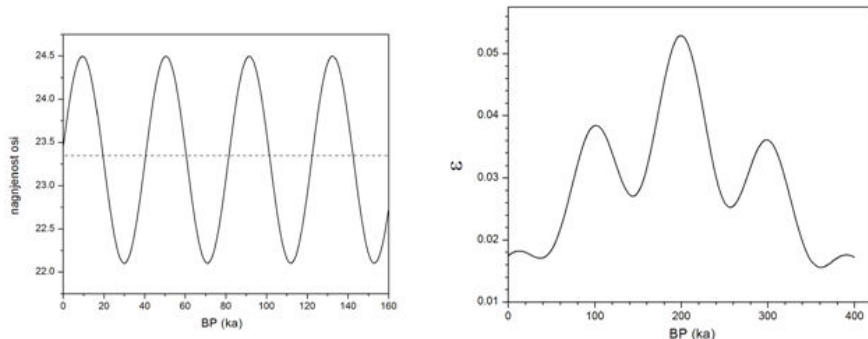
Precesijski čas  $T_p$  glede na zvezde je 26 ka; s ka označujemo tisoče let. Čas, kot ga vidimo na Zemlji, je odvisen tudi od vrtenja glavne osi Zemljinega tira glede na zvezde in od drugih gibanj. Tudi tu je opaznih več harmoničnih komponent s periodami 19, 22 in 24 ka. V računu smo privzeli  $T_p = 23$  ka, kar se ujema z vrednostjo, ki so jo iz meritev na vrtini določili Hays in sodelavci.

Drugi dve gibanji, ki vplivata na  $Q/Q_0$ , sta spremjanje nagiba zemeljske vrtilne osi glede na ekliptiko (kot  $\delta_0$ ) in spremjanje ekscentričnosti elipse zemeljskega tira. Pri opisu teh dveh parametrov si pomagamo z analitičnimi približki. Spreminjanje nagiba zemeljske osi med skrajnjima legama  $22,1^\circ$  in  $24,5^\circ$  poteka s periodo 41 ka. Trenutna vrednost  $\delta_0$  je  $23,44^\circ$  in se zmanjšuje. V naših računih podamo časovno odvisnost  $\delta_0$  z analitičnim približkom

$$\delta_0 = 23,3^\circ - 1,2^\circ \sin \left( 2\pi \frac{T - 0,8 \text{ ka}}{41 \text{ ka}} \right). \quad (14)$$

Spreminjanje ekscentričnosti zemeljskega tira je kvaziperiodično zaradi vpliva masivnih planetov Jupiterja in Saturna. Najmočnejše harmonične komponente imajo periode 95 ka, 125 ka in 413 ka. Analitično aproksimacijo, ki dovolj dobro opiše spremjanjanje  $\epsilon$  za zadnjih 400 ka, poiščemo z nastavkom

$$\epsilon = A_0 + \sum_{i=1}^3 A_i \sin \left( 2\pi \frac{T + \varphi_i}{T_{ei}} \right). \quad (15)$$



**Slika 3.** Spreminjanje nagiba zemeljske osi po enačbi (14) (levo). Spreminjanje ekscentričnosti Zemljinega tira po enačbi (16) (desno).

Za prispevek s periodo 413 ka je amplituda 0,012. Minimum doseže pri času 400 ka v preteklosti, zato za  $\varphi_3$  izberemo  $-13$  ka  $-1/4 \times 413$  ka. Preostale amplitude  $A$  in fazne čase  $\varphi$  določimo z zvezami:

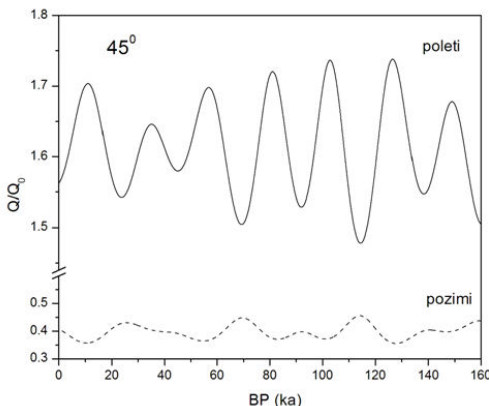
1. Največja vrednost  $\epsilon$  je 0,053, najmanjša 0,005.
2. Današnja vrednost  $\epsilon$  je 0,017.
3. Največja vrednost  $\epsilon$  je bila pred 200 ka.

Iz pogoja (3) dobimo  $\varphi_1$  in  $\varphi_2$  z zahtevo, da morata biti ustreznii sinusni funkciji v (15) enaki ena. Nato z upoštevanjem pogojev (1) in (2) rešimo sistem enačb za preostale tri amplitude  $A$ . Ekscentričnost je tako podana s semiempiričnim približkom

$$\begin{aligned} \epsilon = & 0,029 + 0,0062 \sin \left( 2\pi \frac{T + 33,75 \text{ ka}}{95 \text{ ka}} \right) + 0,0058 \sin \left( 2\pi \frac{T - 18,75 \text{ ka}}{125 \text{ ka}} \right) \\ & - 0,012 \cos \left( 2\pi \frac{T - 13 \text{ ka}}{413 \text{ ka}} \right). \end{aligned} \quad (16)$$

## Rezultati in diskusija

Model smo uporabili za prikaz nihanj v sončnem obsevanju za čas würmske poledenitve (do 160 tisoč let nazaj). Rezultate računa smo primerjali z vrednostmi, kot jih najdemo na spletu (slika 2). Kot kaže slika 3, z enačbo (14) pravilno opišemo periodo in začetni potek nihanja zemeljske osi, ne zajamemo pa rahlega spreminjanja amplitude. Spreminjanje ekscentričnosti



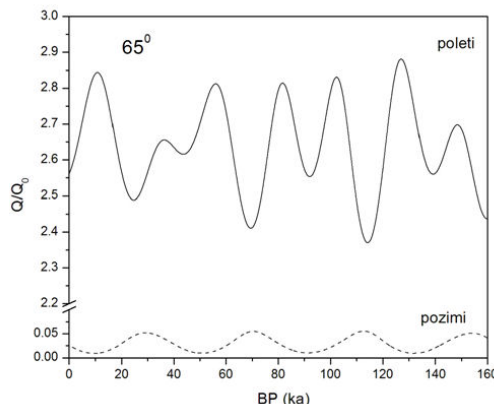
Slika 4. Izračunano relativno obsevanje za  $45^\circ$  severne širine.

zemeljskega tira do 400 tisoč let nazaj pa zelo dobro ponazorimo s približkom (16). Enačba (16) napove enako strukturo tudi za obdobje med 400 in 800 tisoč leti v preteklost, vendar slika 2 kaže, da se oblika funkcije pri bolj oddaljenih obdobjih nekoliko popači.

Krivulji relativnega sončnega obseva sta izračunani za dve geografski širini:  $45^\circ$  (slika 4), kamor približno sodijo naši kraji, in za  $65^\circ$  (slika 5). Širine okoli  $65^\circ$  naj bi bile namreč odločilne za nastanek ledenih dob. Te nastopajo tedaj, kadar deli zemeljske površine dobijo poleti premalo topote, da bi se stalil ves led, ki je ostal od zime. Sliko 5 lahko primerjamo s podrobnostmi na sliki 2: kot vidimo, naš račun dokaj dobro reproducira posamezne strukture: vrh z visokimi temperaturami pred 10 tisoč leti, sedlast vrh z visokimi temperaturami med 30 in 45 tisoč leti, visoke temperature pred 75 in 100 tisoč leti, močno ohladitev pred 115 tisoč leti in zelo visoke temperature pred 125 tisoč leti (ta vrh navadno označujejo kot 5e ali 5,5 in ustrezna eemianskemu interglacialu). Ohladitve nastopajo pred 20, 60 in 115 tisoč leti in štejejo kot poledenitve würm III, II in I. Od teh naj bi bila najhladnejša würm I (pred 115 tisoč leti), vendar dejanske klimatske meritve kažejo, da so bile tedaj temperature višje kot pri drugih dveh. Slike 4 in 5 pa pokažeta, da na izbrani del zemeljske površine vedno posije največ topote poleti in da je ravno ta toplota odločilna za klimatske spremembe.

### Sklep

V prispevku smo prikazali preprost model za spremljanje klimatskih nihanj po Milankovićevem predlogu. Model se omeji na bistvene pojave, ki zajemajo relativno velikost dnevnega obseva in spremenjanje osnovnih astronom-

Slika 5. Izračunano relativno obsevanje za  $65^{\circ}$  severne širine.

skih parametrov. Računanje po predstavljenih izrazih je mogoče opraviti s preprostim računalniškim programom ali celo z navadnim kalkulatorjem. Seveda pa se mora bralec zavedati, da je spremenjanje klime odvisno še od mnogih drugih pojavov, ki niso zajeti v sedanjem modelu: površine Zemlje v obliki elipsoida, odbojnosti tal in vplivov atmosfere, kamor spadajo tako absorpcija sončnega sevanja kot učinki tople grede, in prenosov toplotne z vetrovi in morskim tokovi. Del teh pojavov je v model vključil že Milanković v prvi izdaji leta 1920. Z modelom lahko pogledamo tudi v prihodnost. Račun kaže, da bi v naslednjih nekaj tisoč letih morali pričakovati zmanjšanje temperature. Če se to ne bo zgodilo, bodo za to krivi toplogredni pojavi.

## LITERATURA

- [1] M. J. Aitken, *Science-based dating in archaeology*, Longman, London 1990.
- [2] J. D. Hays, J. Imbrie in N. J. Shackleton, *Variation in the Earth's Orbit: Pacemaker of the Ice Ages*, Science **194** (1976), 1121–1132.
- [3] L. D. Landau in E. M. Lifshitz, *Mechanics*, Pergamon Press 1976.
- [4] M. Milankovitch, *Théorie Mathématique des Phénomènes Thermiques Produits par la Radiation Solaire*, Gauthier-Villars, Paris 1920.
- [5] M. Milankovitch, *Kanon der Erdbestrahlung und seine Anwendung auf das Eiszeiten-problem*, Srpska kraljevska akademija, Beograd 1941.
- [6] Wikipedia; gesla: Milankovitch cycles, Milutin Milankovitch

<http://www.dmfz-zaloznistvo.si/>